



بررسی سازوکار جایگزینی همبافت گرانیتوئیدی بروجرد با استفاده از روش ناهمسانگردی قابلیت مغناطیس شدگی

جمال رسولی^{*}، داریوش اسماعیلی^۱، محمد محل کفشدوز^۲

۱- دانشکده زمین‌شناسی، پردیس علوم، دانشگاه تهران

۲- گروه زمین‌شناسی، دانشکده علوم پایه، دانشگاه تربیت مدرس تهران

(دریافت مقاله: ۹۰/۱/۱۴، نسخه نهایی: ۹۰/۶/۲۹)

چکیده: همبافت گرانیتوئیدی بروجرد یکی از همبات‌های نفوذی بزرگ در پهنه‌ی ساختاری سندنج-سیرجان است که واحد سنگ‌شناسی غالب آن گرانودیوریتی است و استوک‌های کوچک کوارتزدیوریتی و مونزو-گرانیتی نیز آن را همراهی می‌کنند. بررسی سازوکار جایگزینی همبات گرانیتوئیدی بروجرد (غرب ایران) با استفاده از روش ناهمسانگردی پذیرفتاری مغناطیسی (AMS) بر پایه‌ی نتایج حاصل از آنالیز ۲۹۰ نمونه تهیه شده از ۹۶ ایستگاه از واحدهای سنگ‌شناختی اصلی همبافت انجام شده است. نتایج حاصل نشان می‌دهد که همبافت یاد شده، جزء گرانیتوئیدهای پارامغناطیس بوده و میزان پذیرفتاری و مغناطیسی ناهمسانگرد مغناطیسی از واحد کوارتزدیوریتی به واحد مونزو-گرانیتی کاهش می‌یابد. همچنین شکل بیضوی مغناطیسی در نصف ایستگاه‌ها، خطی و در بقیه ایستگاه‌ها صفحه‌ایست. بافت‌های مغناطیسی نشانده‌نده این است که جایگزینی همبات گرانیتوئیدی بروجرد به صورت سیل انجام شده است و خاستگاه ساختاری همبات گرانیتوئیدی بروجرد، فضاهای کششی محصول رژیم زمین‌ساختی ترافشارشی هستند.

واژه‌های کلیدی: برگوارگی و خطوارگی؛ ریزساختارها؛ همبات گرانیتوئیدی بروجرد؛ پذیرفتاری مغناطیسی ناهمسانگرد.

بسیار سخت می‌شود و در ضمن تعمیم و ارتباط دادن نتایج اندازه‌گیری‌ها، در نقاط مختلف مشکل است و دیگر اینکه انتقال اطلاعات از یک مشاهده‌گر به نفر دوم مشکل بوده و تبدیل آن به اطلاعات کمی ساده نیست [۲]. همچنین در جاهایی که توده‌ی همگن بوده و در مقیاس ماکروسکوپی بافت‌های ساختاری قابل مشاهده نباشند، اندازه‌گیری عوارض ساختاری به صورت مستقیم غیرممکن بوده و با استفاده از مقاطع میکروسکوپی جهت‌دار و استفاده از میز میکروسکوب، بافت‌های مورد نظر در مقیاس میکروسکوپی اندازه‌گیری می‌شوند [۶,۵]. در این حالت، بافت سنگ با استفاده از مقاطع نازک در زیر میکروسکوپ بررسی می‌شود. این روش اندازه‌گیری عوارض ساختاری نیز بسیار وقت‌گیر است و به راحتی نمی‌توان نتایج

مقدمه

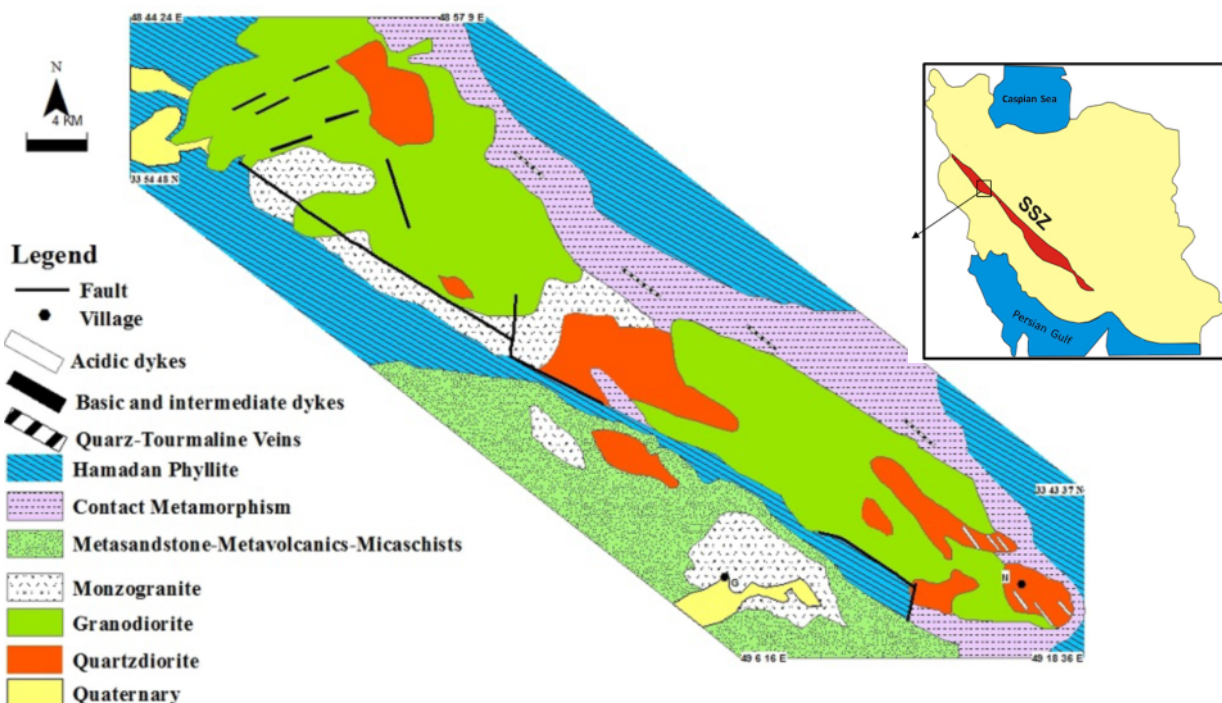
به منظور شناخت سازوکار جایگزینی توده‌های گرانیتوئیدی هم از روش‌های سنتی و هم از روش، ناهمسانگردی پذیرفتاری مغناطیسی (AMS) استفاده می‌شود [۱-۴]. اندازه‌گیری ساختهای ماکروسکوپی و میکروسکوپی نظری برگوارگی و خطوارگی گرانیت‌ها را می‌توان مستقیماً در صحراء یا به کمک نمونه‌های جهت‌دار در آزمایشگاه انجام داد. در گذشته اندازه‌گیری بافت‌ها به روش‌های سنتی انجام می‌شد. در روش سنتی اندازه‌گیری برگوارگی و خطوارگی ماقمایی معمولاً بر اساس مشاهده صورت می‌گیرد و در نتیجه در مواردی که رخمنون خوبی از سنگ‌ها وجود نداشته باشد و یا اینکه بافت‌های ماقمایی ضعیف باشند، اندازه‌گیری عناصر ساختاری کاری

* نویسنده مسئول، تلفن: ۰۹۱۴۴۸۲۰۲۳۳، نامبر: ۶۶۴۹۱۶۲۳، پست الکترونیکی: jamal.rasouli1362@gmail.com

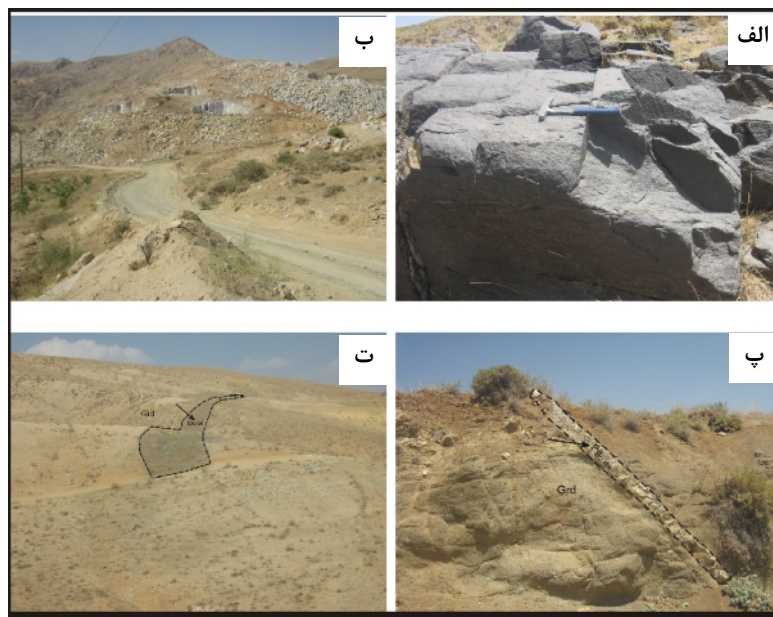
شامل اسلیت‌ها و فیلیت‌ها که تغییرات بافتی محسوسی را نشان نمی‌دهند و طبیعی از شرایط رخساره‌ی شیست سبز در آنها دیده می‌شود. طی نفوذ توده‌ی گرانیتوئیدی در راستای سطح شیست‌تزویته، یک مجموعه دگرگونی مجاورتی با دمای بالا و فشار پایین حاصل شده است. در بخش جنوبی توده‌ی، دگرگونی مجاورتی به دلیل گسله بودن [۹،۸] یا ناقص است و یا دیده نمی‌شود و نوار باریکی از شیست‌های کردیریت‌دار یا کردیریت هورنفلس که به اسلیت و فیلیت ختم شده وجود دارد. ولی در بخش‌های شمالی توده‌ی، میگماهیت‌های تزریقی [۱۰] و هورنفلس‌ها دیده می‌شود [۹،۸]. بررسی‌های صحرایی و سنگنگاری نشان می‌دهد که این همبات از سه واحد اصلی گرانوپوریت، مونزوگرانیت و کوارتزدیبوریت تشکیل شده است. همچنین سنگ‌های گرانیتی روشن اسفن‌دار، دایک‌های اسیدی، رگه‌های کوارتز- تورمالین و دایک‌های بازی و حد- واسط نیز در منطقه قابل تشخیص است (شکل ۲) [۹]. سنگ‌های گرانوپوریتی حجم مهم توده‌ی نفوذی بروجرد را تشکیل داده و در حقیقت بدنه‌ی اصلی این همبافت بوده و همبری آنها با سنگ‌های دگرگونی مجاورتی اطرافشان به خوبی قابل تشخیص است. بافت این سنگ‌ها دانه‌دار است و از نظر کانی‌شناسی نیز دارای: پلازیوکلاز، فلدسپار قلیایی، کوارتز و

آن را به کل توده تمییم داد. بنابراین علیرغم این که توده‌های گرانیتی متعددی با روش‌های یادشده به طور گستردۀ بررسی شده‌اند، ولی به دلیل مشکلات یاد شده، تنها تعداد محدودی از این بررسی‌ها توانسته به درستی بافت سنگ‌ها را تعیین کرده و ساختار میکروسکوپی دقیقی عرضه کند [۲]. روش جدید یعنی ناهمسانگردی پذیرفتاری مغناطیسی AMS از دقیقترين روش‌هایی است که برای بررسی فایریک‌ها در سنگ‌های گرانیتی که ساخته‌های خطی و صفحه‌ای آنها در مقیاس‌های مزموزکوپی به خوبی قابل تشخیص نباشد، بکار می‌رود. در این پژوهش سعی شده است تا با استفاده از روش (AMS) چگونگی جایگزینی همبات گرانیتوئیدی بروجرد مورد بررسی قرار گیرد.

زمین شناسی همبات گرانیتوئیدی بروجرد
منطقه‌ی مورد بررسی در شرق و جنوب‌شرقی بروجرد در مجموعه سنگ‌های دگرگونی قرار دارد. همبات گرانیتوئیدی بروجرد به صورت کشیده و به طول ۶۰ کیلومتر و پهنای ۸-۱۰ کیلومتر در این منطقه رخمنون یافته است (شکل ۱). سنگ‌های دگرگونی موجود در منطقه، شامل دو سری دگرگونی ناحیه‌ای با درجه‌ی پایین و مجاورتی با درجه‌ی پایین تا بالاست. مرزبندی این دو دگرگونی با توجه به شواهد بافتی و تغییرات کانی‌شناسی صورت گرفته است. دگرگونی ناحیه‌ای



شکل ۱ نقشه لیتولوژی توده‌ی گرانیتوئیدی بروجرد (برگرفته از احمدی ۱۳۸۵ با تصحیح) G روستای گوشه، N روستای نظام آباد.



شکل ۲ الف: نمایی از گرانودیوریت‌های منطقه‌ی مورد بررسی: نمایی از مونزونیت‌های گوشه که به دلیل عدم هوازدگی و تازه‌گی و خوش رنگ بودن به صورت سنگ ساختمانی استخراج می‌شود. پ: نمایی از یک رگه‌ی پگماتیتی که در درون واحد گرانودیوریتی تزریق شده است. ت: نمایی از یک دایک بازی، Grd گرانودیوریت، Dy مادیک بازی.

روش‌شناسی، نمونه‌برداری، اندازه‌گیری و پردازش پارامترهای مغناطیسی

برای بررسی منطقه نخست نمونه‌برداری انجام شد (شکل ۵). نمونه‌هایی که در این روش مورد آزمایش قرار می‌گیرند قطعاتی از مغزی‌های جهت داری هستند که به وسیله یک ماشین حفاری قابل حمل تهیه می‌شوند. معمولاً از هر ایستگاه حداقل دو مغزه جهت‌دار تهیه می‌شود. فاصله‌ی بین محل‌های حفاری شده در هر ایستگاه چند متر، و فاصله‌ی هر ایستگاه حفاری با ایستگاه بعدی ۱ تا ۲ کیلومتر است. در مجموع از کل واحدهای مختلف سنگ‌شناسی منطقه‌ی مورد بررسی در ۹۶ ایستگاه حفاری صورت گرفت. در کل ۲۹۰ مغزه به طول‌های ۵ تا ۱۰ سانتی‌متر به دست آمد. این مغزه‌ها به کارگاه سنگ بری دانشکده‌ی زمین‌شناسی دانشگاه تهران انتقال یافت و در آنجا هر کدام از مغزه‌ها به قطعاتی با ابعاد ۲۲ میلیمتر طول و ۲۵ میلیمتر قطر برش داده شدند و در مجموع ۶۸۰ قطعه به دست آمدند. یعنی به طور متوسط از هر ایستگاه ۵ قطعه که یک قطعه برای بررسی ریزساختار و سنگ‌شناسی بافتی استفاده شد و ۴ قطعه‌ی دیگر نیز پس از مراحل شستشو و آماده سازی در آزمایشگاه مغناطیسی دانشگاه پل ساباتیه شهر تولوز فرانسه، پذیرفتاری مغناطیسی و پارامترهای لازم برای تعیین بافت‌های مغناطیسی نمونه‌ها به وسیله دستگاه کاپابریج KLY-3

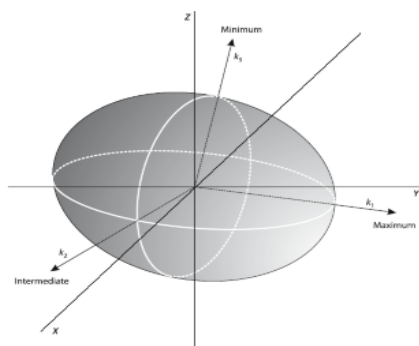
بیوتیت بوده و کانی‌های فرعی آن نیز، آلانیت، آپاتیت، اسفن، زیرکن و کانی‌های کدرند. واحد سنگی کوارتزدیوریتی در صحراء رنگ خاکستری بوده و به صورت همبافت‌های کوچک و مجزا در درون واحد گرانودیوریتی رخنمون دارد به همین دلیل جداکردن این دو واحد از همدیگر در صحراء مشکل است. ترکیب کانی‌شناسی این سنگ‌ها مشابه واحد گرانودیوریتی بوده با این تفاوت که مقدار آمفیبول و پلاژیوکلاز این سنگ‌ها بیشتر و مقدار کوارتز و فلدسپارقلایی آنها کمتر است. همبافت گرانیتوئیدی بروجرد سرگذشت پیچیده‌ای دارد. با توجه به بررسی‌های قبلی [۹] که بر اساس روش U-Pb و با استفاده از کانی زیرکن صورت گرفته، مشخص شد که ماجماتیسم غالب در مقیاس ناحیه‌ای و با گستره‌ی سنی نسبتاً کوتاه ۱۷۱-۱۷۵ میلیون سال پیش بوده که با جایگزینی انواع توode‌های آذرین و نیز دگرگونی ناحیه‌ای در این بخش از پهنه‌ی سندنج-سیرجان همراه بوده است. همچنین این داده‌های سنی، سن حدود ۳۵ میلیون سال را برای توode‌ی مونزوگرانیتی گوشه نشان می‌دهد. همچنین بر اساس این بررسی‌ها مشخص شد که توode‌ی گرانیتوئیدی بروجرد از نوع آهکی-قلیایی و غنی از پتاسیم (پتاسیک) بوده و از نظر درجه‌ی اشباع از الومینیوم (ASI)، متالومین تا اندکی پرالومین تشکیل شده است [۹].

تعریف کرد. در بررسی‌های Kmax نشان دهنده‌ی خطوارگی مغناطیسی و Kint که بردار کمترین مقدار پذیرفتاری مغناطیسی است و به عنوان قطب برگوارگی مغناطیسی در نظر گرفته می‌شود.

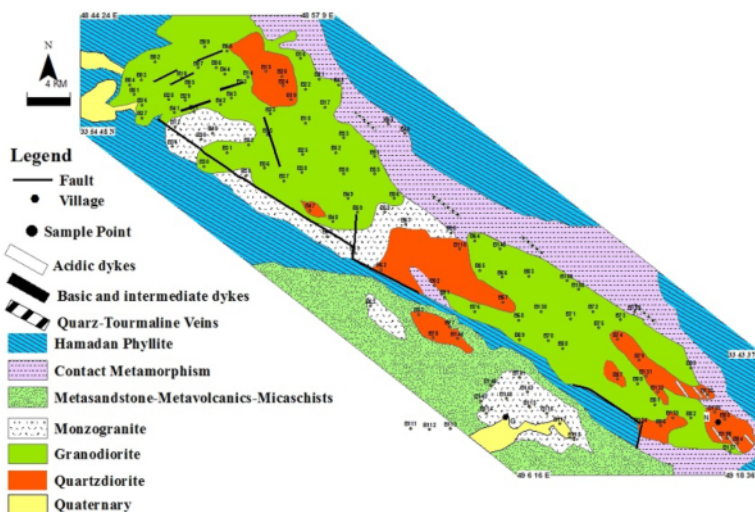
اندازه‌گیری شدند (شکل ۳) که نتایج این اندازه گیری‌ها در جدول ۱) آمده‌اند. اساس اندازه گیری بافت‌های مغناطیسی بر مبنای پارامتر K یعنی ضریب پذیرفتاری مغناطیسی استوار است. اگر بردارهای مغناطیسی را در یک فضای بیضوی تجسم کنیم (شکل ۴) می‌توان سه بردار Kmin و Kmax و Kint را در آنها برقرار است.



شکل ۳ تصویر دستگاه KLY-3 که برای اندازه گیری AMS به کار می‌رود.



شکل ۴ تصویر سه بعدی از K1, K2, K3 که رابطه K1>K2>K3 در آنها برقرار است.



شکل ۵ ایستگاه‌های نمونه‌برداری در منطقه‌ی مورد بررسی.

جدول ۱ پارامترهای مغناطیسی اندازه گیری شده به وسیله‌ی دستگاه KLY-3 برای توده‌ی گرانیتوئیدی بروجرد.

Site	R.Type	N	D	Lang	Lat	KM μSI	Lin. az/pl.	- Fol. az/pl	P(%)	T
۱	granodiorite	۶	b	۲۹۵۲۶۹	۳۷۵۸۱۱۴	۱۷	۲۲۲,۲۶	۱۳۹,۶	۱.۷	۰..۰۳
۲	granodiorite	۵	b	۲۹۶۹۵۲	۳۷۶۱۱۳۰	۲۹۳	۸۹,۴	۲۰۱,۸۰	۹.۱	۰.۵۴
۳	granodiorite	۴	b	۲۹۵۸۹۰	۳۷۵۹۴۸۸	۲۱۴	۱۳۲,۲۲	۳۲,۲۳	۳.۷	۰..۱۶
۴	granodiorite	۵	b	۲۹۴۹۵۶	۳۷۵۹۰۴۶	۱۰۷	۱۸۵,۵۰	۲۸۰,۴	۴.۶	۰..۰۴
۵	granodiorite	۴	b	۲۹۹۵۹۹	۳۷۵۸۷۹۲	۲۴۹	۱۸۳,۴۷	۷۷,۱۴	۵.۶	۰..۰۹
۶	granodiorite	۲	a	۳۰۱۶۶۴	۳۷۶۰۰۵۶	۱۴	۳۴۰,۱۰	۱۲۶,۷۸	۶.۲	۰.۴۹
۷	granodiorite	۲	b	۳۰۰۳۰۳	۳۷۶۰۰۵۳	۳۲	۱۸۶,۴۰	۲۹۷,۲۳	۵.۶	۰..۰۹
۹	granodiorite	۶	b	۳۰۰۸۳۲	۳۷۶۲۴۶۵	۹۳	۱۹۱,۲	۲۸۶,۷۱	۲.۴	۰..۳۱
۱۱	monzogranite	۳	b	۲۹۹۸۸۳	۳۷۵۸۴۱۳	۳۳۰	۱۶۴,۲۶	۵۲,۳۶	۴.۰	۰..۳۰
۱۲	monzogranite	۵	b	۲۹۸۳۶۵	۳۷۵۵۰۸۹	۱۶۹	۳۵۹,۱۵	۲۴۱,۶۱	۶.۵	۰..۳۱
۱۳	granodiorite	۵	b	۳۰۴۰۸۴	۳۷۵۹۵۳۱	۳۴	۱۳۹,۸	۲۹۳,۸۲	۲.۳	۰..۳۱
۱۴	granodiorite	۶	b	۳۰۴۰۸۴	۳۷۵۹۵۳۱	۶۴	۱۴۱,۱۴	۳۰۱,۷۵	۲.۷	۰.۴۱
۱۵	quartzdiorit	۶	b	۳۰۰۴۸۱	۳۷۶۰۰۵۷	۳۰۳	۱۵۴,۶	۲۵۶,۶۳	۵.۲	۰..۶۳
۱۶	granodiorite	۳	a	۳۰۱۸۱۷۵	۳۷۶۱۰۲۴	۲۸	۲۰۷,۷۹	۳۱۱,۳	۲.۴	۰..۰۷۶
۱۷	quartzdiorit	۶	b	۳۱۰۰۱	۳۷۵۶۶۶۷	۳۵۵	۱۲۶,۳۳	۲۵۲,۴۲	۷.۳	۰..۳۲
۱۸	alteredgrani	۶	b	۳۰۱۸۴۴۰	۳۷۵۵۲۱۹	۴۰	۲۷۷,۸	۱۷۵,۵۶	۲.۰	۰..۶۸
۱۹	granodiorite	۶	b	۳۰۱۷۴۰۵	۳۷۵۷۳۹۸	۲۵۵	۱۴۴,۱	۲۲۴,۹	۵.۸	۰..۰۴۰
۲۰	granodiorite	۶	b	۳۰۰۷۷۳۰	۳۷۵۹۶۰۰	۴۰۳	۲۱۹,۲۲	۳۲۵,۲۳	۰.۴	۰..۴۶
۲۱	granodiorite	۶	b	۳۰۰۶۰۰	۳۷۵۹۲۶۴	۲۲	۳۷,۹	۲۰۴,۱۵	۲.۳	۰..۱۳
۲۲	granodiorite	۵	b	۳۰۰۸۵۲۹	۳۷۵۸۳۶۱	۳۹	۱۰۳,۳۴	۳۳۵,۴۲	۳.۰	۰..۰۵۵
۲۳	granodiorite	۷	b	۳۰۰۵۷۶۰	۳۷۵۶۱۰۶	۲۲	۱۳۷,۲۵	۲۳۴,۱۴	۲.۳	۰..۰۴
۲۷	granodiorite	۶	b	۲۹۵۸۳۹	۳۷۵۵۹۴۵	۴۳	۲۳,۴۶	۲۶۹,۲۱	۱.۴	۰.۵۷
۲۸	granodiorite	۶	b	۲۹۷۹۳۰	۳۷۵۷۵۹۵	۷۸	۸۱,۲۳	۳۳۰,۴۰	۲.۰	۰..۱۹
۳۰	granodiorite	۶	b	۳۰۰۰۴۸	۳۷۵۱۳۷۵	۱۲۹	۴۰,۱۹	۲۸۴,۵۲	۴.۱	۰..۰۲۵
۳۱	granodiorite	۳	a	۳۰۰۲۳۴۷	۳۷۵۲۶۰۱	۲۱۱	۲۹,۴۱	۲۷۴,۲۶	۳.۰	۰..۰۲
۳۲	granodiorite	۶	b	۳۰۰۴۰۰۷	۳۷۵۳۳۰۷	۲۱۹	۱۰۱,۳۲	۳۰۳,۵۵	۵.۵	۰..۰۵۹
۳۴	monzogranite	۴	b	۲۹۸۱۲۱	۳۷۵۳۲۷۶	۵۸	۳۴۴,۸	۲۲۰,۷۱	۱۲.۱	۰..۰۲
۳۵	monzogranite	۴	b	۳۰۰۳۷۴۲	۳۷۵۴۴۴۶	۱۳۸	۱۵۹,۲۷	۳۲۲,۶۳	۳.۴	۰..۰۵
۳۶	granodiorite	۴	b	۳۰۰۱۹۵	۳۷۵۱۰۹۴	۷۶	۷۲,۱۸	۳۲۵,۴۲	۱.۳	۰.۴۷
۳۷	granodiorite	۵	b	۳۰۰۷۱۳	۳۷۴۹۹۲۳	۵۱	۱۵۹,۹	۴۰,۷۲	۱.۸	۰.۶۲
۳۹	monzogranite	۵	b	۳۰۰۳۷۰	۳۷۵۳۹۰۶	۳۲	۳۲۲,۷	۲۲۷,۶۵	۱.۸	۰..۰۴۴
۴۱	granodiorite	۵	b	۲۹۸۲۳۶۷	۳۷۵۶۳۸۴	۱۹۹	۳۵۱,۷	۲۵۲,۵۰	۵.۱	۰..۰۲۶
۴۴	granodiorite	۴	b	۳۰۰۲۳۱۹	۳۷۵۹۸۷۶	۴۶	۱۳۲,۲	۴۲,۴	۱.۳	۰..۰۱
۴۵	granodiorite	۵	b	۳۱۱۰۷۹	۳۷۵۸۷۱۱	۲۶	۱۹۴,۳۰	۲۸۶,۴	۱.۸	۰..۰۲۵
۴۷	quartzdiorit	۲	a	۳۰۰۸۱۱	۳۷۴۷۱۴۱	۲۰۳	۶۹,۳۶	۲۳۱,۵۳	۰.۸	۰..۰۹
۴۸	granodiorite	۵	b	۳۱۰۴۱۶	۳۷۴۶۰۸۸	۴۹	۱۴۸,۱۵	۲۶۴,۵۹	۳.۰	۰..۰۹
۵۰	granodiorite	۵	b	۳۱۱۳۰۰	۳۷۵۰۴۷۸	۲۸۱	۳۵۵,۲۵	۲۵۱,۲۹	۳.۹	۰..۰۵۷
۵۱	granodiorite	۵	b	۳۱۳۷۴۷	۳۷۵۲۰۲۲	۳۸	۳۶,۲۳	۲۸۳,۳۱	۱.۱	۰..۰۹
۵۲	granodiorite	۳	a	۳۱۰۷۷۳	۳۷۵۲۴۳۰	۲۵۶	۳۴,۱۳	۲۱۷,۷۷	۲.۷	۰..۰۵۱
۵۳	granodiorite	۵	b	۳۱۱۳۹۷	۳۷۵۲۸۰۴	۲۴۳	۳۵۴,۵	۸۴,۹	۲.۲	۰..۰۲۱
۵۶	granodiorite	۳	a	۳۱۰۱۸۷	۳۷۴۸۰۹۰	۲۷	۴۹,۳۴	۳۱۹,۰	۳.۲	۰..۰۱۴
۵۷	monzogranite	۶	b	۳۱۰۰۴۰	۳۷۴۵۶۷۰	۱۲۲	۳۱۹,۲۱	۷۳,۴۷	۲.۸	۰..۰۱۷
۵۸	monzogranite	۲	a	۳۱۴۴۴۲	۳۷۴۶۸۴۱	۱۲۳	۱۲۴,۴۳	۳۴۰,۴۱	۱.۰	۰..۰۱۶
۵۹	granodiorite	۶	b	۳۱۲۲۸۳	۳۷۴۶۸۸۳	۹۳	۲۱,۴۸	۲۶۲,۲۳	۰.۷	۰..۰۳۰
۶۰	monzogranite	۶	b	۳۰۰۹۵۱	۳۷۴۴۷۱۱	۹۲	۱۷۶,۳۹	۳۳۱,۴۹	۱.۱	۰..۰۱۸
۶۱	monzogranite	۳	a	۳۱۰۰۳۰	۳۷۴۳۱۵۹	۱۸۷	۱۱۲,۲۹	۲۲۷,۳۸	۴.۴	۰..۰۵۵
۶۲	quartzdiorit	۶	b	۳۱۰۴۰۵۶	۳۷۴۱۵۴۸	۲۴۹	۱۰۰,۶۷	۲۱۵,۱۱	۱.۷	۰..۰۱۷
۶۳	monzogranite	۴	b	۳۱۰۱۶۷	۳۷۴۸۰۲۶	۲۷۸	۲۲۴,۲۴	۱۹۵,۴۸	۵.۳	۰..۰۱۵
۶۴	granodiorite	۶	b	۳۲۱۳۰۸	۳۷۴۴۰۹۰	۶۲	۲۷۶,۱	۱۸۴,۶۴	۰.۸	۰..۰۱۶
۶۵	granodiorite	۳	a	۳۲۱۶۶۸	۳۷۴۱۳۴۱	۲۸۰	۲۷۶,۲۸	۱۷,۲۹	۴.۶	۰..۰۱۳
۶۶	granodiorite	۳	a	۳۲۲۴۰۵	۳۷۴۰۶۹۲	۲۱۳	۲۹۴,۱	۲۴,۲	۳.۴	۰..۰۴۰
۶۷	quartzdiorit	۶	b	۳۲۲۴۴۱۴	۳۷۴۳۸۲۸۱	۴۶۷	۲۹۹,۱۷	۲۰۸,۳	۳.۴	۰..۰۵۵
۶۸	quartzdiorit	۳	a	۳۲۲۴۵۹۲	۳۷۴۳۶۶۹۵	۴۷۰	۲۵۸,۴۲	۱۶۵,۴	۴.۲	۰..۰۱۲
۶۹	granodiorite	۶	b	۳۲۲۴۶۱۰	۳۷۴۳۸۷۷	۱۹۴	۳۱۷,۱۳	۲۱۰,۵۱	۸.۲	۰..۰۴

۷۰	granodiorite	۳	a	۲۲۶۸۷۴	۳۷۳۴۷۷۴	۱۶۷	۱۲۶/۱۰	۲۳۱/۵۷	۵.۵	-۰.۴۱
۷۱	granodiorite	۶	b	۲۲۸۶۰۹	۳۷۳۶۷۴۵	۳۰۶	۳۱۵/۱۰	۴۶/۵	۳.۳	-۰.۱۳
۷۲	granodiorite	۵	b	۲۲۰۳۷۰	۳۷۳۶۷۳۹	۳۶۰	۱۷۴/۷	۲۲۶/۸۲	۳.۵	-۰.۳۲
۷۳	granodiorite	۶	b	۲۲۲۴۴۱	۳۷۳۶۵۸۵	۳۱۴	۲۴۳/۲۴	۲۴۴/۱۹	۳.۰	-۰.۶۱
۷۴	quartzdiorit	۲	a	۲۲۲۲۲۹	۳۷۳۴۷۷۱	۳۸۷	۳۲۴/۱۱	۲۲۲/۲	۳.۳	-۰.۵۱
۷۵	granodiorite	۲	a	۲۲۰۷۸۱	۳۷۳۵۸۷۵	۳۰۹	۱۶۴/۳۳	۳۸/۴۲	۵.۵	-۰.۴۶
۷۶	granodiorite	۵	a	۲۲۱۲۳۷	۳۷۳۷۵۵۸	۲۶۸	۳۲۱/۴	۲۲۹/۲۴	۹.۰	-۰.۱۳
۷۷	quartzdiorit	۳	a	۳۱۹۲۲۸	۳۷۳۶۱۴۸	۴۲۵	۵۸/۳۹	۱۸۷/۳۷	۴.۷	-۰.۶۹
۷۹	quartzdiorit	۲	a	۲۲۳۸۶۸	۳۷۳۲۸۳۱	۳۸۰	۱۴۰/۷۴	۲۲/۸	۵.۰	-۰.۳۶
۸۰	granodiorite	۵	b	۲۲۳۳۷۰۱	۳۷۳۰۶۴۷	۲۷۷	۷۷/۷۵	۲۰۲/۸	۶.۳	-۰.۱۷
۸۱	granodiorite	۴	b	۲۳۵۰۰۷	۳۷۲۸۶۸۳	۱۹۷	۳۱۴/۷۷	۲۰۰/۵	۳.۱	-۰.۲۳
۸۲	granodiorite	۴	b	۲۲۷۷۶۷	۳۷۲۷۴۰۳	۲۹۹	۶۱/۴۲	۱۷۷/۲۶	۲.۱	-۰.۰۵
۸۳	granodiorite	۴	b	۲۲۵۴۶۴	۳۷۴۰۷۴۷	۲۹۶	۱۱۷/۸	۳۰۰/۸۲	۳.۹	-۰.۸۷
۸۴	quartzdiorit	۶	b	۲۴۱۳۳۴	۳۷۲۵۰۳۳	۴۹۳	۱۰۱/۶۲	۲۰۷/۹	۷.۱	-۰.۱۷
۸۵	quartzdiorit	۲	a	۲۴۰۳۹۲	۳۷۲۷۲۳۶	۱۴۳	۱۱۱/۰	۲۱/۱۲	۵.۰	-۰.۳۸
۸۶	quartzdiorit	۳	a	۲۳۵۴۱۱	۳۷۲۶۷۰۴	۳۱۴	۶/۲۵	۲۵۵/۳۸	۳.۱	-۰.۵۲
۸۷	monzogranite	۵	b	۲۲۲۱۱۳	۳۷۲۱۱۰۶	۱۷۸	۸۹/۲۵	۱۹۶/۳۳	۵.۶	-۰.۵۲
۸۸	granodiorite	۶	b	۲۲۷۹۴۲	۳۷۲۴۰۱۵	۲۴۹	۱۲۷/۴	۲۱۹/۲۸	۴.۴	-۰.۹۷
۹۰	monzogranite	۴	b	۲۱۹۵۲۲	۳۷۴۴۸۶۳	۳۲۱	۱۱۷/۰	۲۶/۷۹	۳.۵	-۰.۰۷
۹۱	granodiorite	۶	b	۲۱۸۸۹۵	۳۷۳۸۹۲۸	۱۶۸	۳۱۷/۳۸	۲۰۰/۳۱	۷.۱	-۰.۱۹
۹۳	quartzdiorit	۴	b	۲۱۶۸۸۳	۳۷۳۷۳۶۴	۹۲۲	۲۲۴/۲۳	۲۱۶/۳۶	۶.۰	-۰.۴۲
۱۱۰	quartzdiorit	۲	a	۲۲۰۱۳۶	۳۷۴۳۳۴۲	۲۹۲	۲۵۲/۲۵	۳۵۲/۲۱	۵.۶	-۰.۰۲
۱۱۴	siyenogranit	۴	b	۲۲۱۹۳۶	۳۷۲۸۱۱۶	۶۵	۶۳/۲۷	۲۵۷/۶۲	۲.۵	-۰.۰۱
۱۱۵	siyenogranit	۴	b	۲۲۵۲۹۵	۳۷۲۸۶۳۹	۹۶	۳۲۱/۷	۲۳۰/۷	۲.۴	-۰.۴۴
۱۱۶	siyenogranit	۴	b	۲۲۶۵۹۷	۳۷۲۸۰۳۰	۸۲	۱۰۶/۱۳	۲۱۴/۵۳	۲.۲	-۰.۱۵
۱۱۸	siyenogranit	۴	b	۲۲۸۶۹۲	۳۷۲۵۸۸۹	۷۲	۲۴۴/۲۶	۳۳۴/۰	۹.۸	-۰.۳۵
۱۳۰	granodiorite	۴	b	۲۲۶۳۵۷	۳۷۲۷۴۶۴	۳۲۹	۳۴۹/۴۲	۲۴۳/۱۷	۴.۳	-۰.۴۹
۱۳۱	quartzdiorit	۴	b	۲۲۴۲۵۷	۳۷۲۱۳۴۴	۲۷۷	۵۳/۳۶	۱۷۸/۳۸	۲.۷	-۰.۲۳
۱۳۲	quartzdiorit	۴	b	۲۲۵۲۲۳	۳۷۲۹۸۵۰	۳۱۵	۲۶۶/۵۳	۴۸/۳۱	۳.۵	-۰.۰۵۵
۱۳۴	quartzdiorit	۴	b	۲۲۳۲۹۱۹	۳۷۲۶۸۵۳	۲۱۵	۲۱۸/۶	۳۰۸/۳	۱.۳	-۰.۸۴
۱۳۵	quartzdiorit	۴	b	۲۲۳۶۳۵۱	۳۷۲۷۴۵۸	۳۴۸	۵۰/۵۱	۲۳۴/۴۰	۱.۵	-۰.۷۵
۱۳۶	quartzdiorit	۴	b	۲۴۰۶۰۳	۳۷۲۵۹۶۹	۳۷۵	۲۰۱/۷۲	۱۰۰/۴	۱.۴	-۰.۴۵
۱۳۷	granodiorite	۴	b	۲۴۰۷۰۳	۳۷۲۴۲۴۲	۱۵۹	۲۲۸/۵۷	۲۰۰/۲۶	۳.۰	-۰.۱۳
۱۳۸	quartzdiorit	۳	b	۲۴۰۵۴۳	۳۷۲۵۴۷۷	۳۹۰	۲۵۲/۴۰	۱۵۸/۵	۱.۱	-۰.۲۵
۱۳۹	quartzdiorit	۴	b	۲۲۹۶۰۵	۳۷۲۷۹۲۷	۱۸۹	۳۱۱/۱۷	۲۲۰/۳	۳.۷	-۰.۴۲
۱۴۰	granodiorite	۵	b	۲۲۲۲۷۳	۳۷۴۳۲۸۳	۲۲۵	۳۲۱/۵	۶۷/۷۲	۴.۴	-۰.۳۸
۱۴۱	siyenogranit	۴	b	۲۲۴۵۷۲	۳۷۳۱۳۹۵	۱۰۸	۴۴/۸۷	۲۲۹/۳	۳.۸	-۰.۰۵
۱۴۲	siyenogranit	۴	b	۲۲۵۱۴۰	۳۷۳۰۰۲۹	۱۰۸	۳۱۳/۳۶	۱۸۹/۳۹	۱.۵	-۰.۰۹
۱۴۳	siyenogranit	۴	b	۲۲۳۵۰۷	۳۷۲۹۴۷۳	۱۲۵	۲۷۵/۸۸	۲۰/۰	۲.۰	-۰.۰۳
۱۴۴	quartzdiorit	۴	b	۲۱۹۸۵۱	۳۷۲۵۰۵۸	۶۴۷	۲۷۸/۴۴	۱۴۰/۳۸	۵.۵	-۰.۹۴
۱۴۵	siyenogranit	۲	b	۲۲۱۵۴۵	۳۷۲۹۲۶۳	۷۶	۱۱۸/۲۳	۲۸۷/۵۶	۱.۵	-۰.۴۷

۱) → Km<۱۶۰ ۲) → ۱۶۰<Km<۲۵۰

۳) → ۲۵۰<Km<۴۰۰ ۴) → Km>۴۰۰

دامنه‌ی تغییرات Km برای همبافت گرانیتیوئیدی بروجرد بین ۹۲۱ μm (در کوارتزدیوریت‌ها) تا ۱۴۳ μm (در مونزو-گرانیت‌ها) متغیر است (جدول ۱). گرانودیوریت‌ها که بخش مهم لیتولوژی توده را به خود اختصاص داده‌اند، حدواتر مقداری یاد شده‌اند. با نگاهی به نقشه‌ی کرانبندی شده Km به آسانی می‌توان دریافت که از مرکز به سمت شمال بیشتر مقداری Km کمتر از ۳۰۰ μm SI هستند، حال آنکه از مرکز به سمت جنوب همبافت

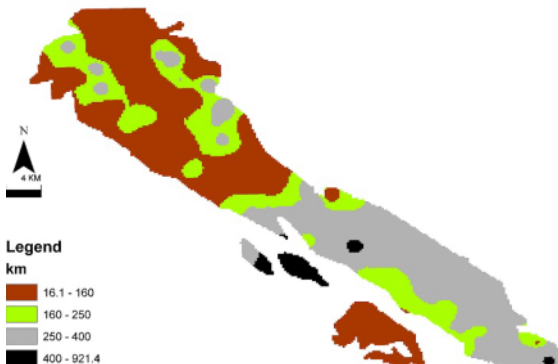
پارامترهای مغناطیسی

پارامتر پذیرفتاری مغناطیسی میانگین (Km)

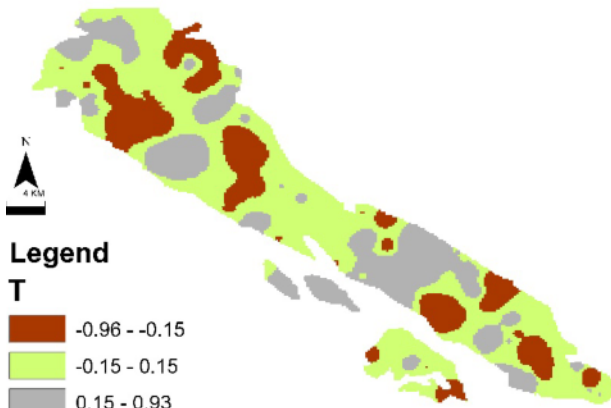
یکی از پارامترهای مهمی که حین اندازه‌گیری بافت‌های مغناطیسی به آن دسترسی می‌یابیم، مقدار پذیرفتاری مغناطیسی میانگین (Km) است. رابطه‌ی Km به صورت [Km = (K1 + K2 + K3)/3] است [۱۲]. به منظور تسهیل در نمایش تغییرات مقداری پذیرفتاری مغناطیسی سعی شد تا این تغییرات را به صورت کرانبندی شده درآورده و در ۴ ردیف تقسیم بندی کنیم (شکل ۶).

$$\begin{aligned} T &= (\ln F - \ln L) / (\ln F + \ln L) \\ \Rightarrow &\begin{cases} F = \text{Magnetic Foliation} \\ L = \text{Magnetic Lineation} \end{cases} \\ L &= K_1 / K_2 , \quad F = K_2 / K_3 \\ T &= (2 \ln K_2 - \ln K - \ln K_3) / (\ln K_1 - \ln K_3) \end{aligned}$$

در حقیقت پارامتر T ، شکل بیضوی مغناطیسی را توصیف می‌کند و مقدار آن بین -1 و 1 تغییر می‌کند. هنگامی که مقدار پارامتر T کمتر از صفر باشد (T با مقادیر منفی) شکل بیضوی مغناطیسی میله‌ای یا سیگاری (prolate) است و در صورتیکه T بزرگتر از صفر باشد (T با مقادیر مثبت) شکل (oblate) بیضوی مغناطیسی صفحه‌ای یا کلوجه‌ای شکل (nugate) می‌شود [۲]. اگر به داده‌های T در جدول (۱) نگاه کنیم می‌بینیم که بالاترین مقدار T (شیدیدا صفحه‌ای) 0.93 در واحد کوارتزدیوریتی قرار دارد و کمترین مقدار T (شدیداً خطی) -0.96 در واحد گرانودیوریتی واقع شده است. ولی با نگاه دقیق‌تر به جدول (۱) متوجه می‌شویم که پراکنده‌گی مقادیر مثبت و منفی تقریباً برابر است. یعنی مقدار T برای $\%50$



شکل ۶ نقشه‌ی پربندی مقادیر Km برای همبافت گرانیتوئیدی بروجرد.



شکل ۷ نقشه‌ی پربندی مقادیر T برای توده‌ی گرانیتوئیدی بروجرد.

بیشتر مقادیر Km بالای 300 m SI است. از آنجا که میانگین Km برای همبافت گرانیتوئیدی بروجرد 205 m SI است. می‌توان گفت در کل همبافت گرانیتوئیدی بروجرد، جزء گرانیتهای پارامغناطیس است ولی در این میان چند منطقه به صورت محلی از این قاعده مستثنی است. مثلاً بیشتر کوارتزدیوریتها در حوالی روستای نظام آباد و برخی نقاط دیگر دارای Km بالاتر از 400 m SI هستند و به نظر می‌رسد که باید آنها را جزء سنگ‌های فرومغناطیس رده‌بندی کرد و یا در بخش‌های شمالی توده و در جایی که مونزوگرانیتها حضور دارند و به صورت عدسی‌های کوچک در میان گرانودیوریتها برخی مناطق یافته می‌شوند که دارای Km کمتر از 50 m SI هستند. بنابراین به نظر می‌رسد می‌توان آنها را جزء سنگ‌های دیامغناطیس رده‌بندی کرد.

پارامتر درصد ناهمسانگردی پذیرفتاری مغناطیسی (P_{para}) پارامتر $P\%$ یا درصد ناهمسانگردی پذیرفتاری مغناطیسی به صورت زیر تعریف می‌شود [۱۲، ۱۳]:

$$P(\%) = (K_1 / K_3 - 1) * 100 \Rightarrow \begin{cases} K_1 = K_{\max} \\ K_3 = K_{\min} \end{cases}$$

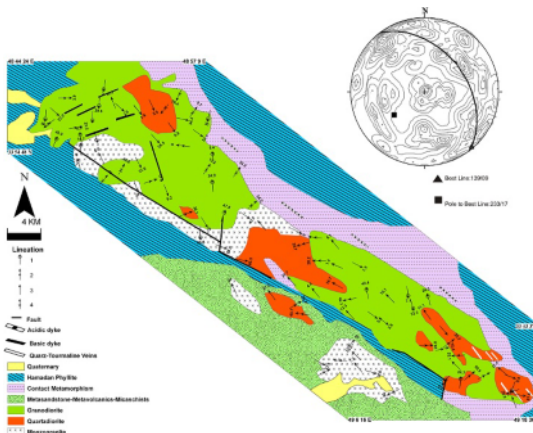
در واقع این پارامتر رابطه‌ی بین مقدار بیشینه و کمینه پذیرفتاری مغناطیسی را بیان می‌کند. مقادیر $P\%$ برای کلیه ایستگاه‌ها در جدول (۱) ارایه شده‌اند. بالاترین مقدار $P\%$ برای همبافت گرانیتوئیدی بروجرد 120.9% بوده و کمترین آن نیز 37.0% است. میانگین $P\%$ برای کل توده 37.0% است. به منظور رسم نمودار پربندی شده $P\%$ (شکل ۷) با توجه به دامنه‌ی تغییرات $P\%$ که بین 0.37% تا 120.9% است، نمونه‌های مورد بررسی در سه گروه با مقادیر زیر مورد بررسی قرار گرفتند: $p < -0.5$, $-0.5 < p < 0.5$, $p > 0.5$. چنانکه در نقشه (شکل ۷) ملاحظه می‌شود رابطه‌ی مشخصی بین لیتوژئی‌های مختلف همبافت و مقدار $P\%$ وجود ندارد. مقادیر $P\%$ بالای 5% بطور پراکنده در بخش‌هایی از شمال و غرب و جنوب‌غربی همبافت مشاهده می‌شود و مقادیر $P\%$ کمتر از 2% را نیز می‌توان به طور پراکنده در مرکز همبافت مشاهده کرد.

پارامتر شکل (T)

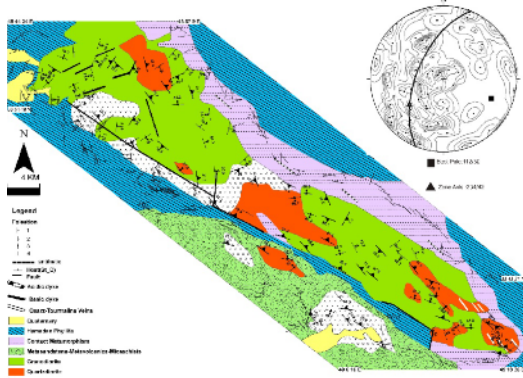
پارامتر T (پارامتر شکل بیضوی مغناطیسی)، پارامتر دیگر است که در حین اندازه‌گیری بافت‌های مغناطیسی به آن دسترسی می‌یابیم. این پارامتر به صورت زیر تعریف می‌شود [۱۲-۱۴]:

خطوارگی و برگوارگی مغناطیسی

در صورتیکه که خطوارگی ها و برگوارگهای مغناطیسی وابسته به هر ایستگاه را با توجه به موقعیت جغرافیایی آنها روی نقشه پیداه کنیم، نقشه‌های خطوارگی و برگوارگی مغناطیسی به دست می‌آید که به ترتیب در شکل‌های ۱۰ و ۱۱ نشان داده شده‌اند. نگاهی اجمالی به هر دو نقشه نشان می‌دهد که روند خطوارگی ها و برگوارگی ها در چندین منطقه به طور بارزی با هم‌دیگر تفاوت دارند، به ویژه بخش شمالی توده با بخش‌های جنوبی آن تفاوت فاحشی دارد. به این صورت که خطوارگی ها در بخش‌های شمالی دارای روند شمالی – جنوبی هستند در حالیکه در بخش‌های جنوبی و به ویژه در گوششها دارای روند شرقی - غربی هستند ولی به صورت پراکنده در کل توده، ایستگاه‌های مشاهده می‌شوند که دارای روند شمال غربی-جنوب شرقی هستند. این روند ما را بر آن داشت تا گستره‌ی مورد بررسی را به چهار پهنه به شرح زیر تقسیم کنیم.

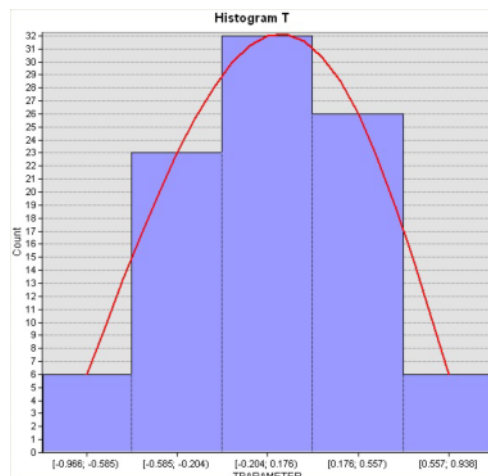


شکل ۱۰ محل خطوارهای مغناطیسی روی نقشه‌ی توده گرانیتوئیدی بروجرد. که هر کدام از پهنه‌های چهارگانه به ترتیب از ۱ تا ۴ و با نمادهای متفاوت مشخص شده است.



شکل ۱۱ محل برگوارهای مغناطیسی روی نقشه‌ی توده گرانیتوئیدی بروجرد. که هر کدام از پهنه‌های چهارگانه به ترتیب با شماره ۱ تا ۴ و با نماد متفاوت مشخص شده است.

مثبت (یعنی شکل بیضوی مغناطیسی صفحه‌ی ای) و برای ۵۰٪ بقیه ایستگاه‌ها منفی (یعنی شکل بیضوی مغناطیسی خطی) است. حال اگر برای داده‌های T، نموداری بر اساس شماره ایستگاه و فراوانی مقادیر T در آن ایستگاه‌ها رسم کنیم (شکل ۹) تقریباً نمودار نرمال گاؤس حاصل می‌شود (ویژگی نمودار استاندارد گاؤس این است که توزیع داده‌ها در آن نرمال است، یعنی واریانس داده‌ها یک بوده و میانگین داده‌ها نیز صفر است). این نمودار به خوبی نشان می‌دهد که همه شکل‌های بیضوی مغناطیسی در همه جای توده‌ی گرانیتوئیدی بروجرد دیده می‌شوند. برای رسم نمودار همگشتی T سه گستره‌ی <0.2 - <0.2 -T خطی، <0.2 -T خطی - صفحه‌ای و >0.2 -T صفحه‌ای انتخاب و نمودار همگشتی T نمونه‌های مورد بررسی رسم شدند (شکل ۸). چنانکه ملاحظه می‌شود هیچگونه نظم خاصی در این نمودارها دیده نمی‌شود و تقریباً هر سه نوع شکل بیضوی مغناطیسی (خطی، خطی-صفحه‌ای و صفحه‌ای) در همه جای نقشه دیده می‌شود.



شکل ۸ نمودار پارامتر T، که به صورت نمودار نرمال گاؤس است.



شکل ۹ نمودار پربندی شده p% همبافت گرانیتوئیدی بروجرد.

بهترین خط روی آن قرار می‌گیرد عبارتست از: ۰۷۰/۰۴. برگواره‌های این پهنه نیز غالباً شمالی-جنوبی بوده (شکل ۱۳، G2) و مشخصات بهترین قطب برگوارگی‌های مغناطیسی این قلمرو و زون محوری آنها عبارتند از: بهترین قطب: ۰۸۳/۱۷. زون محوری: ۱۸۰/۲۴. متوسط مقدار پذیرفتاری مغناطیسی برای این پهنه ۲۲۵/۸۴ mSI است. تقریباً هر سه گروه سنگی به تعداد مساوی دارای ایستگاه در این پهنه هستند. میانگین مقدار ناهمسانگردی برای این پهنه ۳/۵۴٪ است و میانگین مقدار پارامتر شکل در این پهنه ۰/۰۹ است. نیمی از ایستگاه‌های این پهنه دارای شکل صفحه‌ای و نیمی دیگر دارای شکل خطی هستند.

پهنه سوم: این پهنه با داشتن ۴۳ ایستگاه، دارای بیشترین ایستگاه بوده و تقریباً در همه جای همبافت پراکنده است. خطوارگی‌های مغناطیسی در این پهنه عموماً دارای روند شمال-غرب-جنوب شرق‌اند که همان روند کلی پهنه سندگ-سیرجان است. از آنجاکه خطوارگی‌های مغناطیسی این پهنه در تمام قسمت‌های همبافت پراکنده بوده و روند کلی آن همسو با روند سندگ-سیرجان است، به نظر می‌رسد که آخرین فعالیت زمین‌ساختی در منطقه باشد. هرچند نابهنجاری در شیب خطوارگی‌های این پهنه دیده می‌شود ولی عموماً شیب این پهنه بسیار کم و حدود ۲۰ درجه (در بسیاری از ایستگاه‌ها حتی شیب کمتر از ۱۰ درجه است) است (شکل ۱۲، G3). میانگین سمت خطوارگی‌های مغناطیسی این پهنه ۲۰۸/۷۵ درجه است. مختصات صفحه‌ای که بهترین خط بر روی آن قرار می‌گیرد عبارتست از: ۱۳۱/۰۱. برگوارگی‌های مغناطیسی این پهنه غالباً شمال شرقی-جنوب غربی بوده (شکل ۱۳، G3) و مشخصات بهترین قطب برگوارگی‌های مغناطیسی این قلمرو و زون محوری آنها عبارتند از: بهترین قطب: ۱۲۳/۱۱ و زون محوری: ۲۲۱/۳۵. میانگین پذیرفتاری مغناطیسی این پهنه درصد ناهمسانگردی بین کل ایستگاه‌های است (SI = ۱۴/۱ m). کمترین مقدار km بین کل ایستگاه‌های است (SI = ۱۴/۱ m). همچنین ایستگاه شماره ۶ نیز با بیشترین مقدار km (SI = ۹۲۱/۴ km) در این پهنه واقع شده است. مقدار میانگین درصد ناهمسانگردی مغناطیسی برای این پهنه ۴٪ است که در بین چهار پهنه‌ی یاد شده دارای بیشترین مقدار است. متوسط مقدار پارامتر شکل نیز برای این پهنه ۰/۰۳ است. در این پهنه

پهنه‌ی اول: این پهنه شامل ۲۰ ایستگاه و در دو بخش از همبافت قابل مشاهده‌اند، یکی در شمال و دیگری در جنوب. این پهنه در هر دو رخمنون در سنگ‌های گرانوودیوریتی و کوارتزدیوریتی دیده می‌شوند. در بخش شمالی، به آسانی می‌توان فهمید که این پهنه یک پهنه‌ی برشی است زیرا در آنجا سنگ‌ها به شدت دگرشکل شده و بافت میلیونیتی به خود گرفته‌اند. خطوارگی‌های مغناطیسی در این پهنه بیشتر دارای روند شمالی-جنوبی هستند. به جز چهار ایستگاه این پهنه که دارای شیب بالاتر از ۴۵ درجه دارند، بقیه ایستگاه‌ها عموماً دارای شیب کمتر از ۲۵ درجه هستند. میانگین سمت خطوارگی‌های این پهنه ۲۱۶/۰۶ درجه و مختصات صفحه‌ای که بهترین خط روی آن قرار می‌گیرند ۱۷۸/۰۱ است. (شکل ۱۲، G1). برگواره‌های این منطقه نیز غالباً شرقی-غربی هستند. (شکل ۱۳، G1) مختصات بهترین قطب برگوارگی‌های این قلمرو و زون محوری آنها عبارت است از: بهترین قطب: ۱۶۹/۱۱ و زون محوری: ۲۶۵/۲۷. چنانکه در جدول (۱) نشان داده شده است، میانگین مقدار پذیرفتاری مغناطیسی (km) برای این پهنه ۷۵/۲۱۰ است. وجود دگرسانی گسترده در این پهنه باعث شده که مقدار km در برخی از ایستگاه‌ها به شدت افت کند و کمتر از حد معمول آن باشد. بنابراین در مجموع این پهنه، جزء سنگ‌های پارامغناطیس در نظر گرفته می‌شود. میانگین مقدار درصد ناهمسانگردی برای این پهنه ۳/۸۸٪ و میانگین پارامتر شکل (پارامتر T) معادل ۰/۰۴ است. یعنی می‌توان گفت که در مجموع شکل بیضوی مغناطیسی در این پهنه صفحه‌ای است.

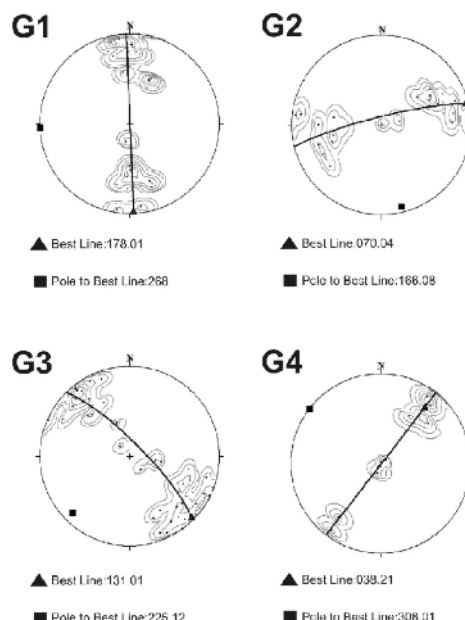
پهنه‌ی دوم: این پهنه را ۲۰ ایستگاه پوشش داده و بیشتر در قسمت‌های جنوبی و مخصوصاً مرکز همبافت متمرکز است. این پهنه نیز به طور کلی در سنگ‌های گرانوودیوریتی قابل مشاهده است و تعدادی از ایستگاه‌های آن در سنگ‌های کوارتزدیوریتی و مونزوگرانیتی نیز مشاهده می‌شوند. خطوارگی‌های مغناطیسی این پهنه دارای روند شرقی-غربی هستند. خطوارگی‌های این پهنه، دارای بیشترین شیب بین پهنه‌های توده‌ی گرانیتوئیدی بروجردنند و جز سه مورد که شیب آنها حدود ۲۰ درجه است. بقیه ایستگاه‌های این پهنه دارای شیب بالای ۵۰ درجه هستند (در ایستگاه B143 بالاترین مقدار شیب ۸۸/۳ دیده می‌شود). میانگین سمت خطوارگی‌های این پهنه ۱۶۶/۲۳ درجه است. (شکل ۱۲، G2) مختصات بهترین صفحه‌ای که

پهنه‌ی چهارم: این پهنه شامل ۱۰ ایستگاه و مانند پهنه‌ی اول هم در بخش‌های شمالی همبافت و نیز در جنوب آن قابل مشاهده است. این پهنه در شمال در سنگ‌های گرانودیوریتی و در جنوب همبافت در سنگ‌های کوارتزدیوریتی دیده می‌شود. خطوارگی‌های مغناطیسی در این پهنه عموماً دارای روند شمال شرقی-جنوب غربی هستند. این روند عکس روند کلی پهنه‌ی ساختاری سنتنچ-سیرجان است. بهترین خط (خطوارگی) این پهنه دارای مشخصات ۳۸، ۲۱ است. به جز ۳ ایستگاه که دارای شبیب بیش از ۷۰ درجه‌اند، بقیه ایستگاه‌های این پهنه شبیب کمی داشته و بیشتر شبیب آنها کمتر از ۱۵ درجه است. میانگین سمت خطوارگی‌های این پهنه ۹۱/۲۳ است (شکل ۱۲). مختصات صفحه‌ای که بهترین خط بر روی آن قرار می‌گیرد عبارت است از ۰۳۸، ۲۱. برگوارگی‌های این پهنه نیز غالباً شمال غربی-جنوب شرقی بوده (شکل ۱۳، G4) و مشخصات بهترین قطب برگوارگی‌های مغناطیسی این پهنه و زون محوری آن عبارت است از: بهترین قطب: ۴۰°۰۵۱ و زون محوری: ۲۹۸، ۲۸. جز ۲ مورد، تمامی نمونه‌های این پهنه در گستره‌ی گرانودیوریت واقع شده‌اند. میانگین پذیرفتاری مغناطیسی در این پهنه، ۱۴۳، ۵۶ mSI است. میانگین مقدار درصد ناهمسانگردی مغناطیسی برای این پهنه ۲/۴۹٪ است که بین چهار پهنه موجود کمترین مقدار P٪ است. میانگین پارامتر شکل برای این پهنه ۰/۰۶ است یعنی می‌توان گفت که در مجموع پارامتر شکل برای این پهنه خطی است ولی در سه ایستگاه شکل بیضوی مغناطیسی صفحه‌ای است.

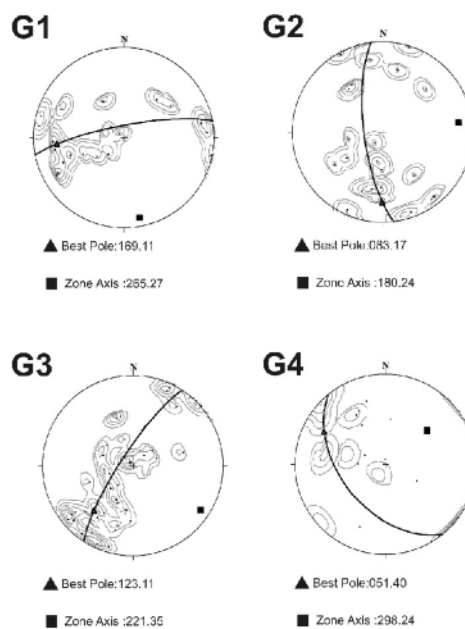
بحث و بررسی

فضاسازی برای نفوذ توده‌های گرانیت‌وئیدی در بیشتر کمرندهای کوهزایی مخصوصاً برای توده‌های نفوذی همزمان با زمین‌ساختی، مورد توجه زمین‌شناسان بوده است [۱۷-۲۱]. در این میان نفوذ گرانیت در پهنه‌های برشی با استرین بالا نیز مشاهده شده است [۲۲، ۲۳]. جاسازی با ایجاد فضاهای کششی به وجود آمده در زمین‌ساختی کششی از جمله مدل‌هایی است که در کوهزایی هرسینین در جنوب شرقی اسپانیا مورد توجه قرار گرفته است [۲۴]. این الگو برای توجیه فضاسازی زمین‌ساختی در مورد برخی از توده‌های نفوذی همزمان با زمین‌ساخت در ایران نیز پیشنهاد شده است [۲۶-۳۰]. خاستگاه ساختاری این توده‌ها گرانیت‌وئیدی، فضاهای کششی (extensional-shear fractures)، محصول رژیم زمین-

نیز تقریباً توزیع پارامتر شکل عادی است، به نحوی که نصف ایستگاه‌ها دارای شکل بیضوی مغناطیسی خطی و نیمی دیگر دارای شکل بیضوی مغناطیسی صفحه‌ای هستند.



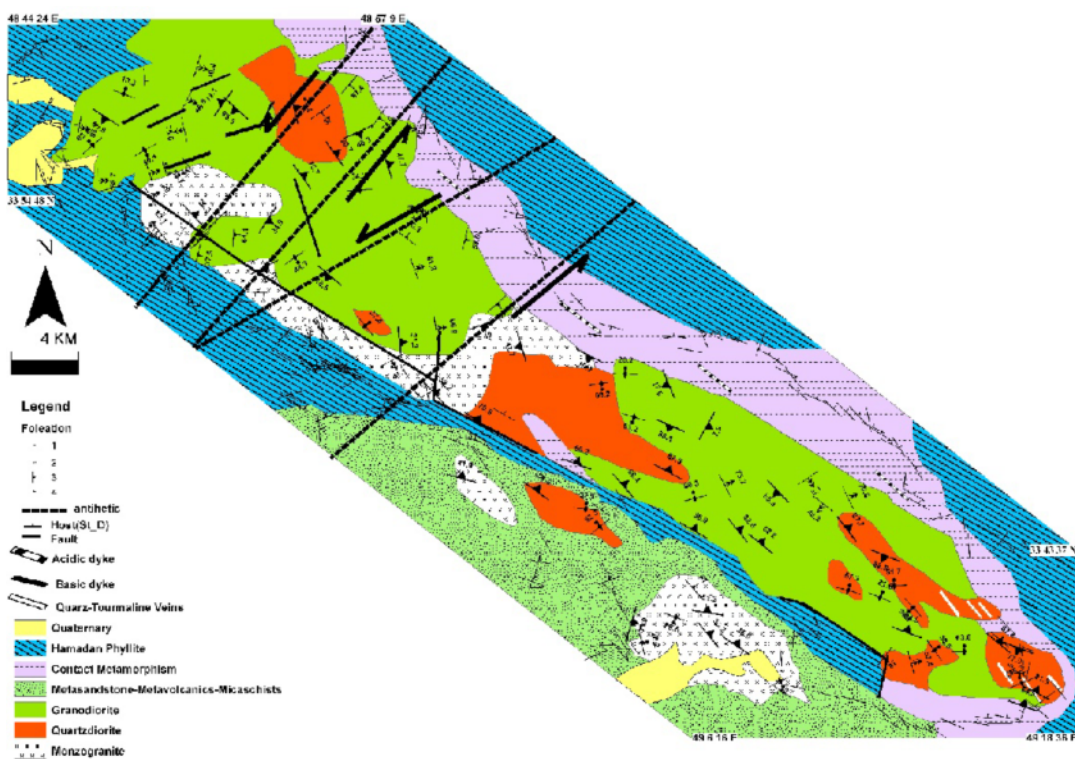
شکل ۱۲ بر جسته نگاره‌ای مربوط به خطواره‌های هر کدام از پهنه‌های چهارگانه که با G1 تا G4 مشخص شده‌اند.



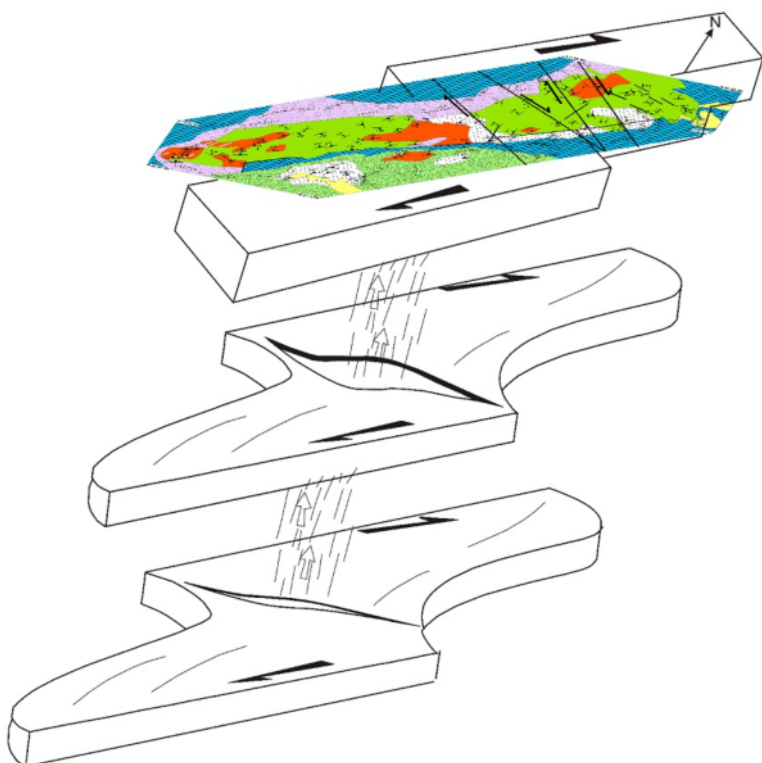
شکل ۱۳ بر جسته نگاره‌ای مربوط به برگواره‌ها هر کدام از پهنه‌های چهارگانه که با G1 تا G4 مشخص شده‌اند.

شده در منطقه ضمن بازشدن چرخیده و عدسی شکل شده‌اند و همبافت نفوذی بروجرد به صورت سیل در فضای زمین-ساختی ایجاد شده به موازات بافت غالب موجود در سنگ‌های بستر نفوذ کرده است. در این حالت مشاهده می‌شود که از پهنه‌های چهارگانه به علت چرخش به مقدار کم، پهنه‌های اول، دوم و سوم حالت همنهشتی (synthetic) با برش داشته و فقط پهنه‌ی چهارم است که موقعیت آن به حالت ناهمهشت (antithetic) است (شکل ۱۴). در این حالت، ارتباط پهنه‌ی برشی با جاسازی زمین‌ساختی برای همبافت نفوذی بروجرد بیشتر شده و با چرخش مداوم، فضای بیشتری برای نفوذ گرانیت، در بخش مرکزی صورت گرفته است و سرانجام همبافت گرانیتوئیدی بروجرد در موقعیت کنونی خود با راستای شمال غربی - جنوب شرقی قرار گرفته است. به نظر می‌رسد زمین‌ساختی برشی از سویی باعث دگرگیریختی و چین‌دادن پیشرونده در مجموعه سنگ‌های رسویی - دگرگون منطقه بروجرد شده و از طرف دیگر مagma‌های بالا آمده از گوشته که دستخوش جدایش شد، به تدریج در فضاهای ایجاد شده با زمین‌ساختی ترافشارشی نفوذ کرده است. با نگاهی به توده‌های

ساختمی ترافشارش (transpression) در فرایند همگرایی ارزیابی می‌شود. تغییرات کم روند و شب خطوارگی‌ها و راستای و شب برگوارگی‌ها در کل توده، نشان‌دهنده‌ی یک الگوی تنفس نهایی است که در فاصله مکانی زیاد، تغییرات کمی داشته است و مانند نیز در این شرایط تشکیل و دگرگشتل شده است. با توجه به چگونگی خطوارگی‌ها و برگوارگی‌ها مغناطیسی و شب اندک تا متوسط آنها می‌توان استباط کرد که نخست مagma در اثر زمین‌ساختی ترافشارشی به لایه‌های بالاتر صعود کرده و سپس به صورت سیل در لایه‌ای سنگ‌های میزبان تزریق شده است. ساده‌تر می‌توان گفت که رخمنون فعلی، بخش میانی و داخلی یک سیل است که در درون سنگ‌های در برگیرنده‌اش جای گرفته است. حضور خطوارگی‌هایی با شب زیاد پهنه‌ی دوم که می‌توان آن را یک پهنه‌ی ریشه‌ای محلی نامید، موید تفسیر بالاست. به عبارت دیگر، همبافت گرانیتوئیدی بروجرد، در یک محیط زمین‌ساختی برشی دگرگیریخت شده است. در این پهنه برشی که همبافت نفوذی بروجرد به مقدار ضعیفی متأثر از برش آن بوده، فضای لازم برای نفوذ حاصل شده است. فضاهای کششی (شکل ۱۵) ایجاد



شکل ۱۴ نقشه‌ی برگواره‌های مغناطیسی که در اینجا حالت‌های ناهمسو با چرخش (antithetic) به صورت خط‌های نمایش داده شده و از حالت‌های همسو با چرخش (synthetic) متضاد تصویر شده است. با توجه به این شکل مشاهده می‌شود که حالت‌های ناهمسو فقط در پهنه‌ی ۴ دیده شده و سه پهنه‌ی دیگر همسو با زمین‌ساختی کلی منطقه‌اند.



شکل ۱۵ مدل طرحواری جاسازی با ایجاد فضاهای کششی به وجود آمده در زمین‌ساختی کششی برای جایگزینی توده‌ی گرانیت‌وئیدی بروجرد به صورت سیل در سه مرحله. چنانکه ملاحظه می‌شود ضمن باز شدن شکاف‌ها برای بالا آمدن ماجما، چرخش نیز صورت گرفته است، و در راستای شمال غربی-جنوب شرقی قرار گرفته‌اند.

تغییر یافته است [۲۶-۲۸]. توالی زمانی و روابط ژئوشیمیایی نشان می‌دهد که ماجمای سازنده‌ی همبافت گرانیت‌وئیدی بروجرد از یک اطاق ماجمایی چینه‌ای (لایه‌بندی‌دار) خارج شده است [۹]. تخلیه اطاق ماجمایی احتمالاً با نفوذ قطب فلزیک شروع شده است [۲۵]. بنابراین احتمالاً مونزوگرانیت‌ها اولین ماجمایی هستند که از مجاری و فضاهای نفوذ ماجما، خارج شده‌اند. در مرحله‌ی دوم گراناندیبوریت‌ها خارج شده و در انتهای کوارتزدیبوریت‌ها نیز نفوذ کرده‌اند. باید توجه داشت که مونزوگرانیت کوشه در یک فاز جدا تزریق شده و از لحظه زمانی همسن با مونزوگرونیت در همبافت اصلی نیست. شواهد ریزساختارهای میکروسکوپی و داده‌های سال‌سنگی به روش اورانیوم-سرب [۹] به خوبی تفاوت بین این دو مونزوگرانیت را به نماش می‌گذارد.

برداشت

۱- کمپلکس گرانیت‌وئیدی بروجرد به جز بخشی از کوارتزدیبوریت‌ها که در حاشیه‌ی جنوب غربی همبافت قرار گرفته‌اند، در دهی گرانیت‌های پارامغناطیس قرار می‌گیرند.

دیگر موجود در زون سنندج - سیرجان متوجه می‌شویم که بیشتر توده‌های نفوذی گرانیت‌وئیدی موجود در این پهنه، شکل عدسی کشیده و گاهی چرخیده دارند که از آن جمله می‌توان به توده‌های مهمی مثل الوند، ملایر، الیگودرز، بوئین- میاندشت و ازنا اشاره کرد. کشیدگی این عدسی‌ها در راستای روند ساختاری غالب مجموعه سنگ‌های دگرگون و چین‌خورده در راستای شمال غربی- جنوب شرقی است که اغلب آنها در فیلیت‌های همدان [۳۱، ۳۲] نفوذ کرده‌اند. فعالیت برشی همسو و همزمان با نفوذ گرانیت‌وئیدها، بافت میلونیتی را در برخی از آنها به وجود آورده که همزمانی آشکاری را با چین خوردن همساز با سنگ‌های بستر نشان می‌دهند (گرانیت میلونیتی ازنا؛ [۲۶-۲۸]). موقعیت همبافت گرانیت‌وئیدی بروجرد که نخست با نفوذ همزمان، دستخوش تغییر شکل برشی می‌شود، در فرایند بازشدن و چرخش در بخش حاشیه‌ای (به خصوص در حاشیه‌ی شمالی) تحت تأثیر چرخش ضعیف ساعت گرد قرار گرفته است که با آن فضای لازم برای نفوذ گرانیت بروجرد ایجاد شده و با این چرخش موقعیت کلی توده از حالت همنهشتی (synthetic) به حالت ناهمنهشت (antithetic) می‌گذرد.

- [7] Pearce J.A., Harris N.B.W., Tindle A.G., "Trace element discrimination diagrams for the tectonic interpretation of granitic rock", *Journal of Petrology* 25 (1984), 956–983.
- [8] Masoudi F., Yardley B.W.D., Cliff R.A., "Rb–Sr geochronology of pegmatites, plutonic rocks and hornfels in the region southwest of Arak eslamic republic of Iran", *Journal of Sciences* 13 (2002), 249–254.
- [9] Ahmadi Khalaji A., Esmaeily D., Valizadeh M.D., Rahimpour-Bonab H., "Petrology and geochemistry of the granitoid complex of Boroujerd, Sanandaj–Sirjan zone, western Iran", *Journal of Asian Earth Sciences* 29 (2007), 859–877.
- [10] Balsley J.R., Buddington A.F., "Magnetic susceptibility anisotropy and fabric of some Adirondack granites and orthogneiss", *American Journal of Science* 258 (1960)-A, 6–20.
- [11] Archanjo C.J., Launeau P., Bouchez J.L., "Magnetic fabric versus magnetite and biotite shape fabrics of the magnetite-bearing granite pluton of Gameleiras (Northeast Brazil)", *Physics of the Earth Planetary Interiors* 89 (1995), 63–75.
- [12] Jelinek V, "Characterization of the magnetic fabrics of rocks", *Tectonophysics* 79, 63–67.
- [13] V. Jelinek: Precision AC Bridge Set for Measuring Magnetic Susceptibility of Rocks and its Anisotropy. *Studia geoph. et geod.* 17 (1981) (1973), 36.
- [14] Jelinek V, "The Statistical Theory of Measuring Anisotropy of Magnetic Susceptibility of Rocks and Its Application", Geofyzika, n. p., Brno (1976). (Not published -- can be obtained from Geofyzika, N. C.).
- [15] Vernon R.H., Etheridge M.A., Wall V.J., "Shape and microstructure of microgranitoid enclaves: indicators of magma mingling and flow", *Lithos* 22 (1988), 1–11.
- [16] Vigneresse J.L., Bouchez J.L., "Successive granitic magma batches during pluton emplacement: the case of Cabeza de Araya (Spain)", *Journal of Petrology* 38/12 (1997), 1767–1776.
- [17] Guineberteau B., Bouchez J.L., Vigneresse J.L., "The Mortagne granite pluton (France) emplaced by pull-apart along a shear zone: structural and gravimetric arguments and regional implication", *Geological Society of America Bulletin* 99(1987), 763–770.
- [18] Hrouda F, "Magnetic anisotropy of rocks and its application in geology and geophysics", *Geophysical Surveys* 5(1982), 37–82.

-۲- مقدار پذیرفتاری مغنایسی (km) در توده گرانیتوئیدی بروجرد بین $۱۴\mu\text{SI}$ تا $۱۴۱\mu\text{SI}$ متغیر است و اندازه‌ی آن از کوارتزدیوریت‌ها به گرانودیوریت‌ها و در نهایت به مونزوگرانیت‌ها کاهش می‌یابد.

-۳- درصد ناهمسانگردی (P%) در کوارتزدیوریت‌ها کمترین مقدار (۰.۳۷%) و در واحد مونزوگرانیت دارای بیشترین مقدار (۱۲.۰%) است.

-۴- پارامتر نیز از حالت شدیداً خطی (-۰.۹۷) تا شدیداً صفحه‌ای ($+۰.۹۴$) در تغییر است. با این وجود تقریباً در حدود ۵۰% استگاه‌ها خطی و ۵۰% بقیه نیز صفحه‌ای هستند

-۵- جایگزینی همبافت گرانیتوئیدی بروجرد به صورت سیل انجام شده است. خاستگاه ساختاری همبافت گرانیتوئیدی بروجرد، فضاهای کششی، محصول رژیم زمین‌ساختی ترافشارشی هستند.

مراجع

- [1] Benn K., Paterson S.R., Lund S., Pignotta G.S., Kruse S, "Magmatic fabrics in batholiths as markers of regional strains and plate kinematics: example of the Cretaceous Mt. Stuart batholith", *Physics and Chemistry of the Earth (A)* 26, (2001) 343–354.
- [2] Bouchez J.L., "Granite is never isotropic: an introduction to AMS studies of granitic rocks", In: Bouchez, J.L., Hutton, D.H.W., Stephens, W.E. (Eds.), "Granites: From Segregation of Melt to Emplacement Fabrics". Kluwer Academic Publishers, Dordrecht, pp. 95–112 (1997).
- [3] Hrouda F., "The effect of quartz on the magnetic anisotropy of quartzite. *Studia Geophysica et Geodaetica*", Praha 30 (1986), 39–45.
- [4] Hrouda F, "A technique for the measurement of thermal changes of magnetic susceptibility of weakly magnetic rocks by the CS-2 apparatus and KLY-2 Kappabridge", *Geophysical Journal International* 118(1980) 604–612
- [5] Bouchez J.L., Guillet P., Chevalier F, "Structures d'écoulement liés à la mise en place du granite de Guérande (Loire Atlantique, France)", *Bulletin de la Société Géologique de France* 7/XXIII (1981) 387–399.
- [6] Bouchez J.L., Gleizes G., Djouadi T., Rochette P., "Microstructure and magnetic susceptibility applied to emplacement kinematics of granites: the example of the Foix pluton (French Pyrenees)", *Tectonophysics* 184 (1990), 157–171.

- [27] Mohajjal M., Fergusson C.L., "Dextral transpression in Late Cretaceous continental collision, Sanandaj–Sirjan Zone, western Iran", Journal of Structural Geology 22(2000), 1125–1139.
- [28] Mohajjal M., Fergusson C., Sahandi M.R., "Cretaceous–Tertiary and continental collision, Sanandaj–Sirjan zone, western Iran.", Journal of Asian Earth Sciences 21 (2003), 397–412.
- [29] Ghalamghash J., Bouchez J.L., Vosoughi Abedini M., Nédélec A., "The Urumieh plutonic complex (NW Iran): a record of the geodynamic evolution of the Sanandaj–Sirjan zone during Cretaceous times –Part II: magnetic fabrics and plate tectonic reconstruction", Journal of Asian Earth Sciences. (2009)
- [30] Sadeghian M., Bouchez J.L., Nédélec A., Siqueira R., Valizadeh M.V., "The granite pluton of Zahedan (SE Iran): a petrological and magnetic fabric study of a syntectonic sill emplaced in a transtensional setting", Journal of Asian Earth Sciences 25 (2) (2005), 301–327.
- [30] Blumenfeld P., Mainprice D., Bouchez J.L., "C-slip in quartz from subsolidus deformed granite", Tectonophysics 127 (1986), 93–115.
- [31] Stocklin J, "Geology of the central coastal Makran area (Iranian oil Company). Unpublished Report GR91c, field at the Nation (Iranian oil company, Tehran)", (1968).
- [32] Stocklin J., "Structural history and tectonics of Iran: a review, American Association of Petroleum Geologists Bulletin 52 (1968), 1229–1258.
- [19] Castro A., de la Rosa J.D., Stephens W.E., "Magma mixing in the subvolcanic environment: petrology of the Gerena interaction zone near Seville, Spain", Contributions to Mineralogy and Petrology 105(1990), 9–26.
- [20] Esmaeily D., Nédélec A., Valizadeh M.V., Moore F., Cotton J., "Petrology of the Jurassic Shah-Kuh granite (eastern Iran), with reference to tin mineralization", Journal of Asian Earth Sciences 25(2005), 961–980.
- [21] Fernandez A., Gasquet D.R., "Relative rheological evolution of chemically contrasted coeval magmas: example of the Tichka plutonic complex", Contributions to Mineralogy and Petrology 116(1994), 316–326.
- [22] Rochette P., "Magnetic susceptibility of the rock matrix related to magnetic fabric studies", Journal of Structural Geology 9(1987), 1015–1020.
- [23] Rochette P., Jackson M., Aubourg C., "Rock magnetism and the interpretation of anisotropy of magnetic susceptibility", Reviews of Geophysics 30 (1992), 209–222.
- [24] Bouchez J.L., Delas C., Gleizes G., Ne'délec A, "Submagmatic microfractures in granites", Geology 20 (1992), 35–38.
- [25] Paterson S.R., Vernon R.H., Tobish O.T., "A review of criteria for the identification of magmatic and tectonic foliations in granitoids", Journal of Structural Geology 11(1989), 349–363
- [26] Mohajjal M, "Structure and tectonic evolution of Palaeozoic– Mesozoic rocks, Sanandaj–Sirjan Zone, western Iran", PhD Thesis, University of Wollongong, (1997) Wollongong, Australia.